

# Д О К Л А Д Ы

АКАДЕМИИ НАУК СССР

---

1970

т. 194, № 5

УДК 550.3

ГЕОФИЗИКА

К. И. ГРИНГАУЗ, В. А. ТРОПЦКАЯ, Э. К. СОЛОМАТИНА, Р. В. ЩЕПЕТИНОВ

СВЯЗЬ ПАРАМЕТРОВ СОЛНЕЧНОГО ВЕТРА С ПЕРИОДАМИ  
УСТОЙЧИВЫХ МИКРОПУЛЬСАЦИЙ ЭЛЕКТРОМАГНИТНОГО  
ПОЛЯ ЗЕМЛИ

(Представлено академиком А. Л. Минцем 31 III 1970)

Результаты измерений потоков ионов солнечного ветра, проведенные при помощи ловушек заряженных частиц на межпланетных станциях Венера-2 (<sup>1</sup>) (в 1965 г.), Венера-4 (1967 г.) (<sup>1, 2</sup>), а также Венера-5 и Венера-6 (<sup>3</sup>) (1969 г.), были сопоставлены с одновременными измерениями периодов  $T$  устойчивых микропульсаций электромагнитного поля Земли. Для сопоставления были выбраны интервалы наблюдений длительностью  $\sim 1$  мес. с момента запуска каждой из межпланетных станций, когда они находились достаточно близко к Земле. При этом временной сдвиг между моментом измерения параметров потока солнечного ветра на космическом аппарате и воздействием этого потока на границу магнитосферы Земли можно было практически не учитывать. На рис. 1 показаны усредненные по 3-часовым интервалам величины периодов  $T$  микропульсаций, определенные по данным регистрации земных токов на обсерваториях Борок ( $\Phi = 52^{\circ}53'$ ,  $\Lambda = 123^{\circ}20'$ ), Петропавловск ( $\Phi = 44^{\circ}24'$ ,  $\Lambda = 218^{\circ}14'$ ) и Сороа (Куба) ( $\Phi = 33^{\circ}$ ,  $\Lambda \sim 345^{\circ}$ ) в зависимости от потока ионов в солнечном ветре  $n v$   $\text{cm}^{-3} \cdot \text{сек}^{-1}$  ( $n$  — концентрация ионов в солнечном ветре,  $v$  — скорость потока). Для всех четырех космических зондов зависимости  $T$  от  $n v$  различны для двух диапазонов значений  $T$ : при  $T \leq 40$  сек. имеет место убывание  $T$  при увеличении  $n v$ , при  $T \geq 40$  сек., наоборот,  $T$  растет при увеличении  $n v$ . Такая же закономерность наблюдается в отдельно взятых данных каждой обсерватории.

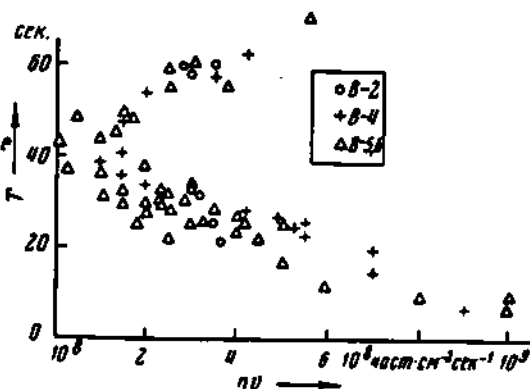


Рис. 1

Для проверки этого явления, обнаруженного при различных фазах солнечной активности, и для выяснения влияния на величину  $T$  концентрации частиц  $n$  в солнечном ветре и скорости  $v$  в отдельности, были привлечены результаты измерений параметров солнечного ветра на американском спутнике Земли ИМП-1 в декабре 1963 г.—марте 1964 г. (<sup>4</sup>) (рис. 2). Величина  $T$  взята по данным обсерваторий Борок и Петропавловск. Рис. 2а полностью подтверждает существование различий зависимостей  $T$  от  $n v$  для периодов  $T \leq 40$  сек. и  $T \geq 40$  сек., показанных на рис. 1.

Особый интерес представляет сравнение зависимостей  $T(v)$  и  $T(n)$  (рис. 2б и 2c), которое показывает, что  $T$  практически не зависит от скорости солнечного ветра, а определяется главным образом концентрацией частиц. На этих графиках в первом случае (2б) не фиксировано значение

$n$ , а во втором случае (2e) — значение  $v$ . Авторы построили зависимости  $T(v)$  при  $n = 5 \div 10 \text{ см}^{-3}$  и  $T(n)$  при  $v = 300 \div 350 \text{ км}\cdot\text{сек}^{-1}$ . Эти графики здесь не приводятся, но они носят характер, совершенно аналогичный рис. 2б и в.

Этот результат является до некоторой степени неожиданным, так как до сих пор в литературе часто рассматривались зависимости различных геофизических явлений от скорости солнечного ветра (начиная с (4)), в то время как влиянию концентрации ионов солнечного ветра  $n$  на явления в околоземном пространстве уделялось мало внимания (хотя, например, в (7) описан случай сильной геомагнитной бури, вызванной именно воз-

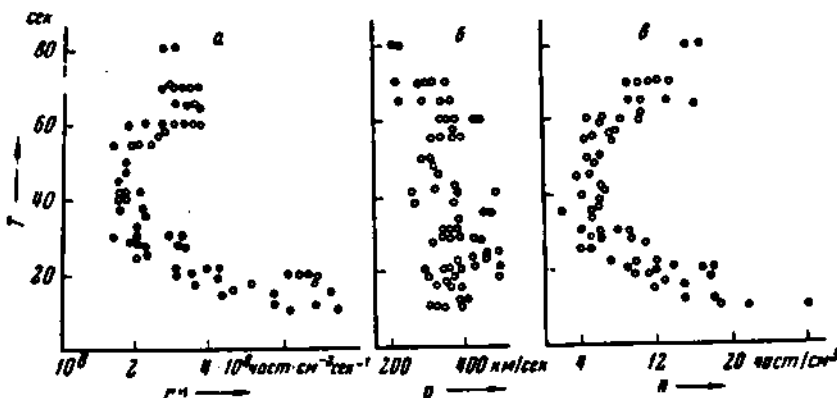


Рис. 2

растанием  $n$ , а не  $v$ ). Считалось, что изменения давления солнечного ветра  $p = nv^2/2$  определяются в основном изменениями  $v$ , ибо зависимость  $p$  от  $v$  квадратична, а от  $n$  линейна. При этом не учитывалось, что вблизи орбиты Земли  $v$  обычно меняется не более, чем в 3 раза (от  $\sim 250$  до  $\sim 750 \text{ км}/\text{сек}$ ), тогда как изменения  $n$  могут превышать 2 порядка (от долей частицы в  $1 \text{ см}^3$  до  $\sim 100 \text{ см}^{-3}$ ).

Приведенные на рис. 2 зависимости свидетельствуют о необходимости дальнейшего изучения влияния вариаций величины  $n$  на явления в магнитосфере. Они также заставляют думать, что микропульсации с  $T < 40 \text{ сек.}$  и с  $T > 40 \text{ сек.}$  генерируются в различных областях магнитосферы.

Убывание  $T$  с ростом  $nv$  при  $T < 40 \text{ сек.}$  хорошо согласуется с представлениями о генерации микропульсаций этой группы ( $Pc-2-3$ ) внутри холодной плазменной оболочки Земли (плазмосфера), ибо, как известно (6, 7), ее граница — плазмопауза приближается при возрастании геомагнитной активности со сжатием магнитосферы и удаляется от нее при уменьшении давления на магнитосферу. Уменьшение размера резонатора, наружной стенкой которого служит плазмопауза, а внутренней — нижняя граница ионосферы, естественно уменьшает период колебаний, возникающих в этом резонаторе. Аргументы в пользу того, что пульсации типа  $Pc-2$ ,  $Pc-3$  (с периодом  $T < 40 \text{ сек.}$ ) образуются именно в плазмосфере, приводились также ранее в (10). Не исключена, однако, и возможность генерации этих колебаний во всем меняющемся под влиянием воздействия солнечного ветра объеме магнитосферы.

Труднее объяснить возрастание величины  $T$  с увеличением  $nv$  для периодов  $T > 40 \text{ сек.}$ , соответствующих колебаниям типов  $Pc-4$ . Согласно имеющимся представлениям, эти пульсации могут генерироваться в сравнительно узкой силовой трубке, опирающейся на зону полярных сияний (11), и представляют собой альвеновские волны, распространяющиеся вдоль

этой трубки. Если это так, то период пульсаций должен быть связан с концентрацией плазмы  $n$  в вершине силовой трубы следующим образом:  $T \sim \sqrt{n} / \cos^2 \Phi_0$  (12), где  $\Phi_0$  — геомагнитная широта, на которую опирается трубка.

Из рис. 2 $\alpha$  видно, что периоды пульсаций с  $T > 40$  сек. растут с увеличением концентрации плазмы  $n$  в межпланетном пространстве. Если допустить, что увеличение концентрации плазмы, действующей на границу магнитосферы, может вызвать увеличение концентрации плазмы в дневной части внешней области магнитосферы (например, за счет крупномасштабных перемещений (конвекции) магнитосферной плазмы или посредством проникновения солнечного ветра в магнитосферу с помощью какого-либо механизма), то, исходя из (12), можно качественно объяснить верхнюю часть графиков рис. 1 и рис. 2 $\alpha$  и  $\sigma$  (для  $T > 40$  сек.). Заметим, что по данным измерений, проведенных на американском геостационарном спутнике ATC-1, именно в этой области магнитосферы (на геоцентрическом расстоянии  $R = 6,6 R_E$ , вблизи местного полудня) во время сжатия магнитосферы 13 I 1967 г. концентрация ионов менялась от  $n = 1,8 \text{ см}^{-3}$  до  $n = 14,8 \text{ см}^{-3}$  (13).

Таким образом, представленные результаты свидетельствуют о том, что основным параметром солнечного ветра, влияющим на характер возбуждаемых на земной поверхности колебательных режимов электромагнитного поля, является концентрация протонной компоненты потока. При этом, с одной стороны, изменение плотности солнечного ветра определяет изменение объема резонатора в магнитосфере, в котором формируются колебания  $Pc-2-3$ . С другой стороны, характер зависимости периодов устойчивых колебаний типа  $Pc-4$ , формируемых во внешних областях магнитосферы, может являться свидетельством увеличения концентрации плазмы на дневной стороне магнитосферы.

Рис. 1 и рис. 2 $\alpha$  и  $\sigma$  позволяют предположить, что могут одновременно существовать (при воздействии на магнитосферу одного и того же потока солнечного ветра) устойчивые микропульсации с двумя различными периодами (соответствующими двум ветвям графиков); однако эти периоды должны находиться в соотношениях, определяемых указанными графиками.

Поступило  
17 III 1970

#### ЦИТИРОВАННАЯ ЛИТЕРАТУРА

- <sup>1</sup> К. И. Грингауз, Э. К. Соломатина, Космич. исслед., 6, № 4, 586 (1968).  
<sup>2</sup> К. И. Грингауз, В. В. Безруких и др., Там же, 6, № 3, 411 (1968). <sup>3</sup> К. И. Грингауз, В. И. Троицкая и др., Геомагнитизм и аэрономия, 10, № 4, 569 (1970). <sup>4</sup> В. А. Троицкая, А. В. Гульельм и, УФН, 97, в. 3 (1969). <sup>5</sup> S. Olbert, Preprint Summary of Experimental Results from MIT Detector on IMP-1, 1968; N. F. Ness, Annual Rev. of Astron. and Astrophys., 6, 79 (1968). <sup>6</sup> C. W. Snyder, M. Neugebaueг, Space Res., 4, 89 (1963). <sup>7</sup> К. И. Грингауз, В. В. Безруких, Л. С. Мусатов, Космич. исслед., 5, 251 (1967). <sup>8</sup> D. L. Carpenter, J. Geophys. Res., 71, 693 (1966). <sup>9</sup> К. И. Грингауз, Изв. высш. учебн. завед. Радиофизика, 12, 1275 (1969). <sup>10</sup> Ю. А. Конытенко, О. М. Распопов, Фам Ван Чи, Космич. исслед., 7, № 2, 266 (1969). <sup>11</sup> Ю. А. Конытенко, О. М. Распопов, Там же, 6, № 4, 617 (1968). <sup>12</sup> А. И. Оль, Диссертация, Н.-И. инст. Арктики и Антарктики, ІІ, 1964. <sup>13</sup> C. S. Warren, Structure of the Dayside Equatorial Magnetospheric Boundary as Deduced from Plasma Flow, A Thesis Submitted in Partial Fulfilment of the Requirements for the Degree of Doctor of Philosophy, Houston, Texas, 1969.

В. И. ПОНОМАРЕВ, Д. М. ХЕЙКЕР, академик Н. В. БЕЛОВ

**КРИСТАЛЛИЧЕСКАЯ СТРУКТУРА ЧЕТЫРЕХКАЛЬЦИЕВОГО  
ТРИГИДРОРИАЛЮМИНАТА  $C_4A_3H_3$**

Четырехкальциевый тригидротриалюминат  $C_4A_3H_3 = 4CaO \cdot 3Al_2O_3 \cdot 3H_2O$ , образующийся в результате гидротермального синтеза в системе  $CaO - Al_2O_3 - H_2O$ , а также при твердении глиноземистых цементов при повышенных температурах, признается наиболее высокотемпературным устойчивым гидроалюминатом кальция. С момента открытия в 1943 г. (<sup>1</sup>) он изучался различными авторами, главным образом на порошках, ибо получение достаточно крупных и совершенных монокристаллов представляет нелегкую задачу.

Нашиими объектами были прозрачные монокристаллы «ромбовидной» формы, результат гидротермального синтеза при  $450^\circ$  и  $P = 1000 - 1500$  атм (<sup>2</sup>). Предварительный этап рентгеноструктурного анализа ограниченных кристаллов выполнен на дифрактометре ДРОН-1 в соответствии с методикой (<sup>3</sup>). У ромбических кристаллов  $4CaO \cdot 3Al_2O_3 \cdot 3H_2O$  ячейка бокоцентрированная,  $a = 12,426 \pm 0,002$  Å,  $b = 12,809 \pm 0,002$  Å,  $c = 8,864 \pm 0,0001$  Å. Систематические погасания соответствуют двум федоровским группам:  $C_{2h}^{11} = Ab2a$ ,  $D_{3d}^{11} = Abma$ ,  $Z = 4$ . Эти данные согласуются с приводившимися ранее (<sup>4</sup>).

Таблица 1

$Ca_2(AlO_4)_3(OH) \cdot H_2O$ . Координаты базисных атомов  
и параметры изотропных тепловых колебаний

Атомы	$x/a$	$y/b$	$z/c$	$B$ (Å $^2$ )
Ca <sub>1</sub>	0	0,1422	0	0,18
Ca <sub>2</sub>	0,3492	0	0,2107	0,12
Al <sub>1</sub>	0,1296	0,1229	0,3630	0,12
Al <sub>2</sub>	0,250	0,250	0,1106	0,14
O <sub>1</sub>	0,3663	0,2186	0,0026	0,54
O <sub>2</sub>	0,2222	0,1393	0,2195	0,64
O <sub>3</sub> (OH)	-0,0025	0,1310	0,2769	0,85
O <sub>4</sub>	0,1467	0	0,4463	0,66
O <sub>5</sub> (H <sub>2</sub> O)	0,3913	0	0,4840	0,80

Точность локализации атомов:

Ca — 0,002 Å, Al — 0,003 Å, O — 0,004 Å.

Точность в параметрах изотропных тепловых колебаний:

Ca и Al — 0,07 Å $^2$ , O — 0,12—0,17 Å $^2$ .

Трехмерный набор модулей структурных амплитуд получен в эквиваклонном автоматическом дифрактометре, управляемом вычислительной машиной (<sup>5</sup>). Условия эксперимента: сферический образец  $d = 0,302 \pm 0,005$  мм, несферичность 3,2%, мозаичность  $0,4^\circ$ , излучение  $CaK_\alpha$  с фильтром (Ni), трубка БСВ-11, напряжение 34 кв, ток 15 ма. Использовался спектральный интервал  $\Delta\lambda / \lambda = 0,0078$ , счетчик сцинтиляционный, интенсивности исправлены в дифрактометре на факторы  $LP$  и поглощение для  $\mu R = 2,64$ . Отражения измерялись только за один проход кристаллом расчетного интервала  $\Delta\omega$  при скорости  $6^\circ/\text{мин}$ , использовался комбинированный  $\omega - \omega/2\omega$  метод (<sup>6</sup>). Средняя скорость съемки при этих условиях 54 отражения в час. После усреднения эквивалентных отражений мы